

京大・衛生工 藤木修<sup>\*</sup>(正)、高木興一(正)、山本剛夫(正)

1. はしがき 近年、空港等の立地に関連して、騒音の長距離伝搬に対する気象の影響を事前に予測する必要が高まっている。従来、音の伝搬に対する風速或は気温分布の効果を計算するために、ひろく音線的手法が用いられてきたが、音線理論は、音の周波数による伝搬特性の相違が説明できないなど、不満足な点が多い。本稿では、大気中の風速と気温の鉛直プロファイルによる音圧レベル分布の変化を、波動方程式に基づく音波散乱理論の立場から定量的に把握する新しい手法を提案し、この方法の適合性を風洞実験によって検証する。

2. 音波散乱理論 移動する媒体中を伝搬する音波についての波動方程式は、通常

$$\frac{1}{C^2} \left( \frac{\partial}{\partial t} + v \cdot \nabla \right)^2 p = \nabla^2 p \quad \cdots \cdots \cdots (1)$$

と表される。<sup>1)</sup>  $v$  は媒体の速度、 $C$  は媒体に対する音速である。媒体の非圧縮性の条件  $(v \cdot v) = 0$  を加味し、更に  $p = E e^{-i\omega t}$  とおくと、(1)式は近似的に

$$(\nabla^2 + k_0^2) E + \frac{2ik_0}{C} (v \cdot \nabla E) \approx 0 \quad \text{ただし } k_0 \ll \omega/C \quad \cdots \cdots \cdots (2)$$

となる。位置  $r$  における媒体の温度  $T(^{\circ}\text{K})$  を、基準点における温度  $T_0$  とそれよりの偏差  $\Delta T(^{\circ}\text{K})$  により、 $T(r) = T_0 + \Delta T(r)$  と表す。 $\Delta T/T \ll 1$ 、 $|v|/C \ll 1$  と仮定し、大気中では  $C \propto \sqrt{T}$  であることを考慮すれば(3)式より

$$(\nabla^2 + k_0^2) E \approx k_0^2 \left( \frac{\Delta T}{T_0} \right) E - 2ik_0 \left( \frac{v}{C_0} \cdot \nabla E \right) \quad \cdots \cdots \cdots (3)$$

を得る。V.I.Tatarski<sup>1)</sup>にならう、(3)式に対して摂動法を適用すると微小量  $\Delta T/T_0$  又は  $v/C_0$  の 0 次及び 1 次のオーダーの項を、 $E$  について以下の関係が導かれる。

$$(\nabla^2 + k_0^2) E_0 = 0 \quad \cdots \cdots \cdots (4) \quad (\nabla^2 + k_0^2) E_1 = k_0^2 \left( \frac{\Delta T}{T_0} \right) E_0 - 2ik_0 \left( \frac{v}{C_0} \cdot \nabla E_0 \right) \quad \cdots \cdots \cdots (5)$$

完全吸音性の地表面を仮定し、 $E_0 = A_0 e^{ik_0 r_0}/r$  とおく。ここに  $A_0$  は定数である。 $k_0 r_0 \gg 1$  の場合、非齊次の Helmholtz の方程式(5)の解は、輻射条件  $\lim_{r \rightarrow \infty} [r (\partial E_1 / \partial r) - ik_0 E_1] = 0$  の下で

$$E_1 = -\frac{A_0}{4\pi} k_0^2 \int_{r_0}^{\infty} \left[ \left( \frac{\Delta T}{T_0} \right) + 2 \left( \frac{v}{C_0} \cdot \nabla r \right) \right] \frac{e^{ik_0(r+p)}}{rp} dr \approx -\frac{A_0}{4\pi} k_0^2 \int_{r_0}^{\infty} \left[ \left( \frac{\Delta T}{T_0} \right) + 2 \left( \frac{v}{C_0} \right) \right] \frac{e^{ik_0(r+p)}}{rp} dr \quad \cdots \cdots \cdots (6)$$

と表される。ただし、 $r$ 、 $p$  はそれぞれ音源、受音点から体積素  $dr$  までの距離、 $v$  は流体速度  $v$  の音源-受音点方向の成分である。今、音源、受音点共に地表面上にあり、気温  $T$  と風速  $v$  の鉛直プロファイルが、高さ  $Z$  と  $r$ 、 $p$  の関数として次のように与えられるものとしよう。

$$T = T_0 + e^{-\epsilon(r+p)} \sum_{j=1}^l T_j Z_j \quad \cdots \cdots \cdots (7) \quad v = v_i e^{-\epsilon(r+p)} (Z/Z_i)^{\epsilon_{i+1}} \quad \cdots \cdots \cdots (8)$$

この時、(6)式は  $E_1 = -\frac{A_0}{4\pi} k_0^2 \sum_{j=1}^l v_i I_j \quad \cdots \cdots \cdots (9) \quad I_j \triangleq \int_{r_0}^{\infty} Z_j^{\epsilon_i} \frac{e^{-(\epsilon-i k_0)(r+p)}}{rp} dr \quad \cdots \cdots \cdots (10)$

となる。ただし、 $\epsilon$  は前述の輻射条件を満たすために導入されたもので、十分小さな正数であり、積分領域  $V$  は地表面より上の半無限空間を示す。また、 $v_i \triangleq v_i/T_0$  ( $1 \leq j \leq l$ )、 $\epsilon_{i+1} \triangleq 2v_i/(C_0 Z^{i+1})$  においている。扁長回転椭円体座標(Prolate Spheroidal Coordinates)を用いて(10)式の積分を実行すると、音源、受音点間の距離  $R$  が十分大きい場合、

\* 現在、建設省土木研究所に勤務

$$E_r \sim \frac{A_0}{4} \sum_{k=1}^{\infty} \frac{V_k \Gamma(1 + \frac{k\pi}{2})}{2^{k/2}(1 + Y_k)} R^{k/2} e^{i(\frac{k\pi}{2} - \frac{1}{2})\pi} e^{ikR} \quad \dots \dots \dots \quad (11)$$

となる。風速及び気温の値プロファイルによる音圧レベルの増分 $\Delta L$ (dB)は、

$$\Delta L = 10 \log_{10} |E_r| / |E_0|^2 \sim 10 \log_{10} |(E_0 + E_1)| / |E_0|^2 \quad \dots \dots \dots \quad (12)$$

と表されるから、(11)式を代入して $\Delta L$ の1次の項まで残すと

$$\Delta L \sim 10 \log_{10} (1 + \phi) \quad \dots \dots \dots \quad (13) \quad \text{ただし } \phi = \frac{1}{2} \sum_{k=1}^{\infty} \frac{V_k \Gamma(1 + \frac{k\pi}{2})}{2^{k/2}(1 + Y_k)} R^{k/2} \sin \frac{k\pi}{4} \pi \quad \dots \dots \dots \quad (14)$$

となる。更に高次の散乱波の効果を考慮するため、(12)式を勘案して(14)式を $\Delta L = 10 \log_{10} (1 + \phi + \alpha)$ と補正する。橋・石井<sup>2)</sup>及び後述の著者らの風洞実験から帰納的に得られた関係 $\Delta L(v_i) + \Delta L(-v_i) \approx 0$ を一般化して $\Delta L(\phi) + \Delta L(-\phi) = 0$ とおくと、これより補正項 $\alpha$ は、 $\alpha = \sqrt{1 + \phi^2} - 1$ と決定される。結局(13)式の代わりに

$$\Delta L = 10 \log_{10} (\sqrt{1 + \phi^2} + \phi) \quad \dots \dots \dots \quad (15) \quad \text{を採用する。}$$

**3. 風洞実験** 実験に使用した風洞は、内部をグラスウールとフェルト、スポンジで簡易吸音処理した吸込式 Eiffel 型風洞(高さ 1.5 m × 幅 2.5 m)である。音源には無指向性ジェット・マイクとノズルを、受音には 1/4 in. コンデンサ型マイクを用いた。ノズルとマイクの高さは共に 1.5 cm で、両者の距離は、25, 35, 50, 70, 100, 140 cm の 6 種類である。粗度板を用いて作った 4 種類の風速プロファイルを Fig. 1 に示す。試験音は 1/3 オクターブ分析し、その中心周波数を 20K, 40K, 80KHz の 3 種類に設定した。

**4. 実験結果** 橋・石井<sup>2)</sup>は、音の伝搬に対する風の影響を調べるために著者らに先立って既に一連の風洞実験を行なっている。Fig. 2, Fig. 3 は、著者らのデータ(黒丸)と橋・石井のデータ(白丸)を、パラメータ $\phi$ と風による音圧レベルの増分 $\Delta L$ の関係に整理して表したものである。中の計算には(14)式を簡略化した近似式

$$\phi = \frac{\pi}{4} \frac{m(1 - 0.63m)}{1 + m} \frac{V_1}{C_0} Z_1^{-m} R_0^{1 - \frac{m}{2}} R^{1 + \frac{m}{2}} \quad \dots \dots \dots \quad (16) \quad \text{ただし } m \equiv Y_{e+1}$$

を用いている。図中の曲線は(15)式の関係を示す。風下伝搬については、著者らのデータと橋・石井のデータは共に理論曲線とよく一致しており、ばらつきは比較的小さい。しかし風上伝搬では両者のデータ間にやや傾向の相違が見られ、著者らの $\Delta L$ の方が比較的小さい値をとる。曲線は両者のデータのほぼ中間の値を示している。

**5. あとがき** 風洞実験について適切な助言を与えて下さった京都市衛生研究所の橋本和平氏、東大生産技術研究所の橋本樹氏、大阪府公害監視センターの中村隆一氏、上原松日出氏に感謝の意を表します。

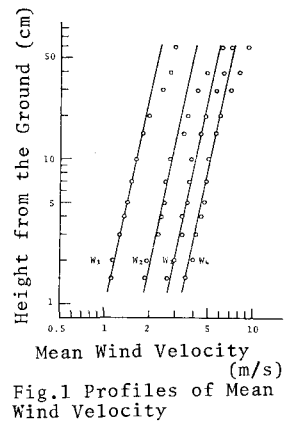


Fig. 1 Profiles of Mean Wind Velocity

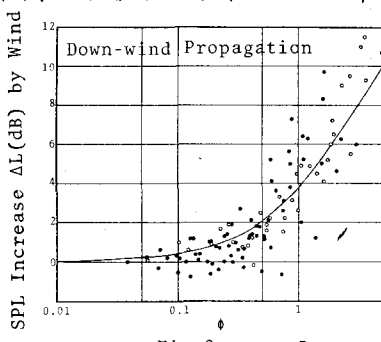


Fig. 2 RELATION BETWEEN  $\Delta L$  AND  $\phi$

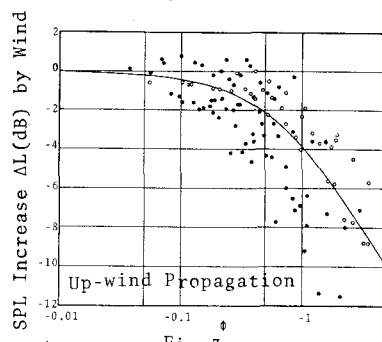


Fig. 3

(文献) 1) Tatarski:Wave Propagation in a Turbulent Medium(McGraw-Hill) 2) Tachibana,Ishi:Scale Model Experiment on Outdoor Sound Propagation(ICAA, Madrid, 1977)